

高温におけるソルバイト炭素鋼の超塑性変形能

清水 達次*・大崎 修平**

Superplastic Formabilities of Sorbite Carbon Steels at Elevated Temperature

Tatsuji SHIMIZU and Shuhei ŌSAKI

Abstract

Elevated temperature tensile tests have been conducted for several steels with different carbon content over the temperature range (700°C~800°C) including A_1 and A_3 transformation points. The effects of temperature, strain rate and microstructure on the superplastic formabilities have been studied and the results obtained are as follows;

- (1) In Sorbite material of the higher carbon steel, the more remarkable drop of the strength and the greater elongation are observed at the temperature just above A_1 point. This is considered to be superplastic phenomena due to $(\alpha+\gamma)$ microduplex structure produced by the precipitation of many fine γ particles on the eutectoid transformation.
- (2) The superplastic deformation is by no means uniform, but a large fraction of the total elongation is contributed by the elongation due to necking. The sustained stress at the bottom of the neck is constant during tensile test and so the creep process may take part in the deformation.
- (3) The Sorbite materials of each steels have larger strain rate sensitivity index of flow stress than the as-received materials and is considerably superior to the superplastic formability.

1. 緒 言

金属材料の超塑性^{1),2)}は、ある特殊な条件のもとでかなり低い作用応力によって伸びが得られる現象で、その大きな延性と低流動応力の特性の故に金属の成形加工という実用面への応用³⁾において近年注目されるようになった。超塑性はむしろ金属の本質的な性質であり、多くの合金系で認められるが^{4)~6)}、その組織上の特性として安定な微細結晶構造をもつことが最も重要な条件であることが知られている。鋼においてはその相変態を利用して、フェライト・オーステナイトの二相共存温度域に加熱することによって微細構造を得ることができ、その温度でクリープ試験を行うと大きな伸びが生ずる⁷⁾。

本研究は数種の炭素量の異なる鋼について、 A_1 および A_3 変態点を含む700°C~800°Cの温度域において恒温引張試験を行い、その変形挙動の温度およびひずみ速度依存性を調べるとともに、一般的な超塑性組織との関連において組織の微細化を図る目的であらかじ

めソルバイト処理を施した材料と未処理の素材の両方について試験を行い、鋼の超塑性変形態におよぼす前処理組織による効果を検討したものである。

2. 試料および実験方法

実験に供した材料は市販の機械構造用炭素鋼 S35C と S55C および炭素工具鋼 SK 5 の三種類で、これらの化学組成を Table 1 に示す。直径 19mm の棒材よりあらかじめ長さ 160mm、平行部直径 12mm の引

Table 1 Chemical composition of steels (wt%)

	C	Si	Mn	P	S
S35C	0.31	0.21	0.46	0.001	0.040
S55C	0.55	0.27	0.67	0.001	0.045
SK 5	0.81	0.27	1.08	0.002	0.071

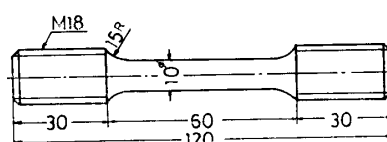


Fig. 1 Size of tensile specimen

* 機械工学科

** 工業短期大学部機械工学科

Table 2 The tensile properties of specimen at room temperature

Specimen		Tensile strength (kg. mm ⁻²)	Percent elongation (%)	Reduction of area (%)	Hardness (Hv)
S35C	as-received	60.5	32.2	52.8	237
	sorbite	80.1	17.6	63.1	275
S55C	as-received	80.2	23.3	46.9	328
	sorbite	78.2	22.4	61.9	315
SK 5	as-received	65.5	31.4	55.2	295
	sorbite	98.1	15.6	35.2	345

張試験片素材を切り出し、焼入れが中心部まで及ぶよう配慮し、次のような熱処理を行った。いずれの鋼についても A_3 点直上約 40°C の温度に 30 分間加熱保持後水焼入れし、さらに 600°C で 30 分焼もどしを行いソルバイト組織のものを得た。素材およびソルバイト処理材につき Fig. 1 に示すような形状、寸法の引張試験片を成形し、表面をエメリペーパー 600 番まで研磨した。Table 2 にこれららの常温における引張の機械的性質を挙げる。S35C および S55C の素材はフェライト・ペーライトの標準組織をもっているが、SK 5 の素材はフェライト中に細かい球状セメンタイトが分散した組織をなしているため共析組成に近い高炭素鋼であるにもかかわらず比較的延性に富んでおり、ほぼ S35C に

匹敵する機械的性質を示している。一方、各鋼のソルバイト材はセメンタイトのきわめて微細な均一分散組織を有しており、素材にくらべて引張強さおよび絞りは大きく、強靭化されていることがわかる。

Fig. 2 は高温引張試験装置の加熱部の概略図で、試験片はステンレス鋼製の炉筒管内に装着し、プロロッドと炉管の間のすきまは O リングを介して密閉することによって内部の気密を保ち、アルゴンガスを流して試験片の酸化の防止をはかった。試験温度は各鋼の A_1 および A_3 変態点を含む 700°C から 800°C の範囲とした。これは T_m を絶対溶融温度とすると ($0.5 \sim 0.6$) T_m に相当している。試験中の温度分布を均一にするため、上中下に三分割された電気炉の出力をそれぞれ電圧制御とともに、試験片平行部の上下二点の温度をアルメル・クロメル熱電対により検出し、電子管式温度調節器によって $\pm 2^\circ\text{C}$ 以下の精度に恒温保持することができた。試験片を各設定温度にあらかじめ 30 分間加熱保持し、炉内および試験片の温度分布が定常化した後、恒温定速の引張試験を開始した。変形速度の設定は引張試験機におけるクロスヘッドの移動速度を破断まで連続的にダイヤルゲージで検出することによって行った。

また変態点および変態速度の測定には熱膨脹計を使用した。

3. 結果および考察

3.1 引張変形挙動の温度依存性

S55C の素材（以下ペーライト材と称す）およびソルバイト材についての変形抵抗 σ_t (flow stress) と破断伸び δ の温度依存性を Fig. 3 に示す。ペーライト材の変形抵抗は高温になるにしたがって漸次低下するのに對して、ソルバイト材では、かなり複雑な変化がみられた。 760°C 以下の温度範囲ではペーライト材にくらべて、かなり低い値を示し、ことに共析変態点 (A_1 点) 直上の温度 726°C において極小となり、著

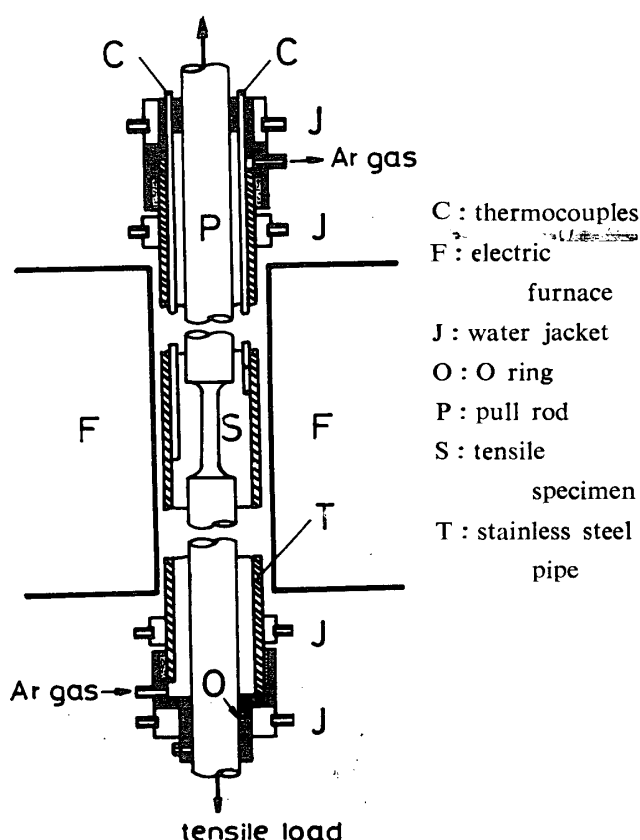


Fig. 2 Apparatus for heating specimen

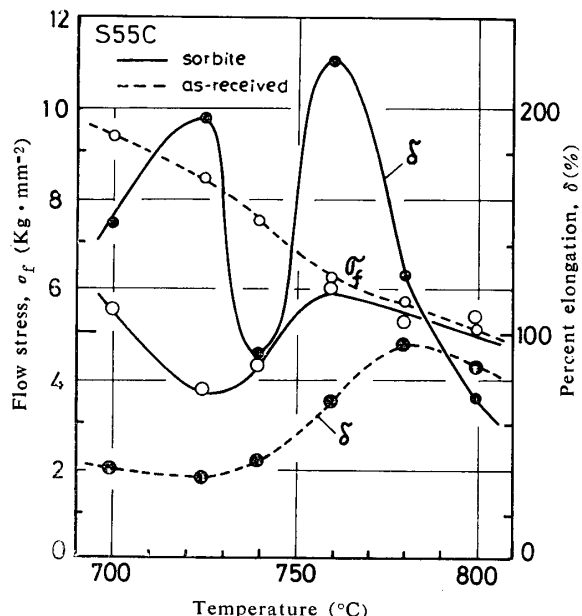


Fig. 3 Temperature dependence of flow stress and percent elongation for S55C
(tensile rate $0.2\text{mm}\cdot\text{min}^{-1}$)

しい強度の低下現象がみられた。そして 760°C までは温度上昇とともに変形抵抗は増大し強度は回復するが、これよりさらに高温域では再び漸減する傾向を有し、パーライト材とほぼ同じ値を示した。 760°C より高温において両材で変形抵抗の差異が殆んど認められなくなるのは、S55C の A_3 変態点以上の温度域であるため組織はオーステナイト (γ) 単相となり、したがって熱処理による組織の差異が完全に消滅し γ 本来の強度を現わすようになるためと考えられる。熱膨脹曲線の測定から、この材料の $A_{\text{c}3}$ 点は約 750°C であることを確認した。破断伸びについては、パーライト材が $40\sim100\%$ の比較的小さい値でかつ単調な温度依存性を示すのに対し、ソルバイト材は全般に大きく、ことに A_1 および A_3 変態点直上に相当するそれぞれ 726°C および 760°C において顕著なピークが存在し、 200% 以上に達するかなり異常な伸びがみられた。 780°C 以上の均一 γ 相が存在する温度域では破断伸びも減少し、パーライト材とほぼ同等の低い値となる。

ソルバイト材が大きな破断伸びを示した場合の応力～ひずみ線図とそのときの破断試験片の外観をFig. 4 に示す。比較のため同一温度におけるパーライト材の応力～ひずみ線図を細線で併記した。すなわちパーライト材において応力は、最大強さに達した後、すみやかに減少し、局部的に狭い範囲のくびれを生じ、 726°C の場合、破断伸びは $\delta=35\%$ 、また絞りは $\varphi=45\%$ と常温のときよりむしろ低い値で非常に脆性的である。

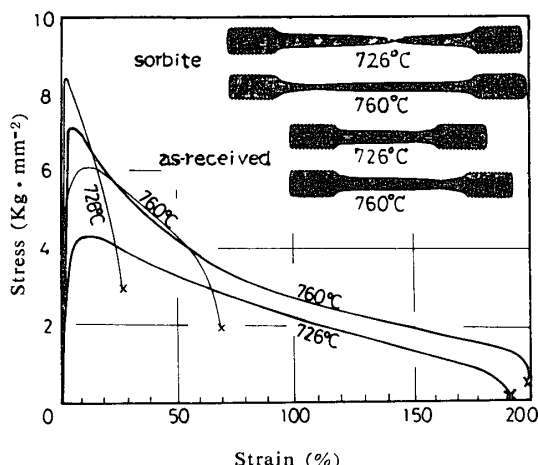


Fig. 4 Stress-strain curves for S55C at high temperature (tensile rate $0.2\text{mm}\cdot\text{min}^{-1}$)

これに対し、ソルバイト材は最大荷重点でくびれを生じた後も応力は、きわめてゆるやかに減少し、また破断応力も殆んど零に近い値で絞り $\varphi=99\%$ に達する点状破断を起し、くびれも試験片全体にわたって浅く分布し、 δ は 200% に近く著しく延性に富んでいる。くびれが荷重～伸び線図の極大点で始まるとして、この点に相当する均一伸びは約 9% にすぎず残りの伸びは、くびれ開始後に生じたわけで、全体の伸びに対するくびれ開始後の局部伸びの寄与が非常に大きいことがわかる。一方パーライト材の均一伸びは僅か 2% で、さらに塑性不安定を起こしやすく局部伸びの寄与も比較的少い。これらの真応力～真ひずみ曲線を求め両対数プロットした場合勾配の異なる二本の直線で表わすことができるが、真応力が真ひずみの n 乗硬化式で表わされるものとすれば直線の各勾配が、そのひずみ範囲での加工硬化指数を与える。パーライトおよびソルバイト材とともにひずみの小さい範囲での n の方が大きな値で、変形初期における加工硬化性が大といえるが、ひずみ ϵ の増加とともにパーライト材では、僅か $\epsilon=1\%$ を越えると n は 0.09 以下の値に低下し、事实上加工硬化性を失なって早期に塑性不安定を生ずる。ソルバイト材の高ひずみ範囲 ($\epsilon=3\sim9\%$) での値は $n=0.14$ でパーライト材にくらべ、やや大きく耐くびれ性に優るといえる、ところが 760°C において、ソルバイト材の n およびくびれ開始ひずみは逆にパーライト材よりも小さく、塑性不安定を起こしやすいにとかかわらず、全体の伸びは 220% 以上と著しく大きい、このことから超塑性的な伸び変形は塑性不安定の難易とは無関係で、むしろ比較的初期にくびれを生じ、それが破断に至るまで試験片全体に拡散的に広がり続けるのが特徴で、大部分の伸びはくびれ部で起きること

がわかる。

このようにソルバイト材が超塑性的な伸びを示した726°Cおよび760°Cにおける破断試験片の空冷組織をFig. 5の(b)および(c)に示す。(a)は常温における試験後の組織である。同様にペーライト材の各温度における組織を(d),(e)および(f)に挙げる。A₁点直上の温度にお

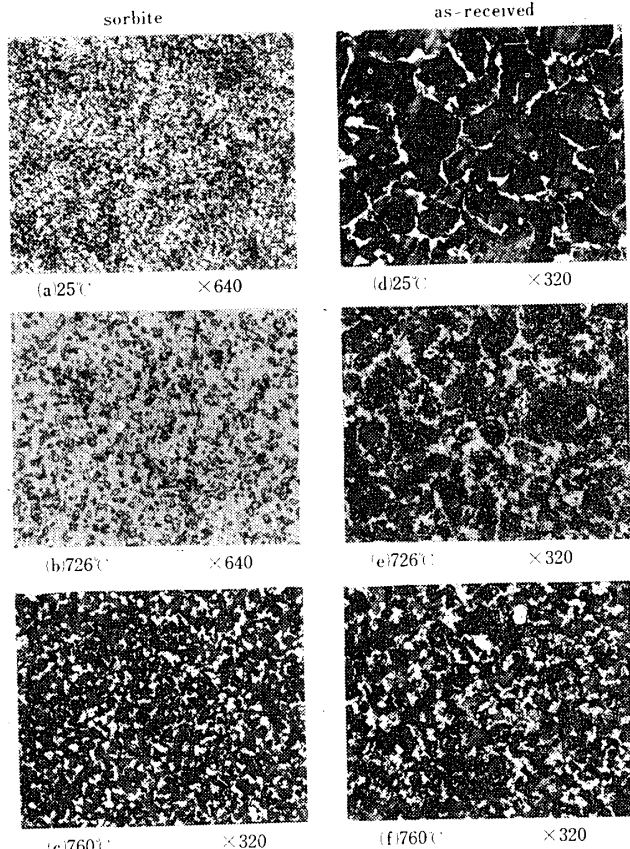


Fig. 5 Air cooled microstructures after tensile test for S55C

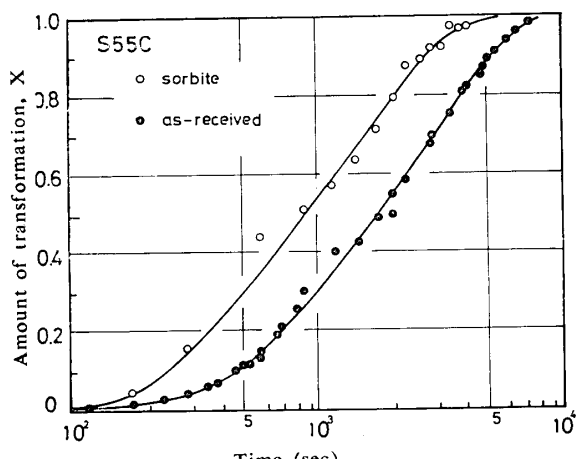


Fig. 6 Isothermal A₁ transformation curves for S55C

いては引張変形中に共析変態 {ペーライト(p) $\rightarrow\gamma$ } が関与するから変形能は大きく左右されることが考えられる。Fig. 6はS55Cの両材についてA₁点に恒温保持したときの共析反応に伴なう熱収縮を測定して、変態量(X)の時間的変化を示したものである。いずれも共析変態に特徴的なS字形曲線⁸⁾が得られるが、変態が半分終了するに要する時間は、ソルバイト材がペーライト材の約1/2でかなり速度の大きいことがわかる。ソルバイト材のごとくフェライト(a)中に微細な多数の球状セメンタイトが均一に分散したものでは個々のセントタイト粒が共析反応の核となりうるため、大きな片状セメンタイトを有するペーライト材にくらべると核の形成速度は大きく γ への固溶も容易で、したがって変態速度は大きく、しかも形成される γ 相の粒子は微細でフェライトマトリックス中に均一に分布した組織が得られるものと考えられる。726°Cの組織(b)において空冷に伴なう顕著なペーライトの再析出が認められないことからも、共析反応によって析出する γ 粒子はかなり微細であり、変形中の高温組織は($\alpha+\gamma$)の微細混合組織であったことが推察される。726°Cの温度一定条件のもとでは $\alpha\rightarrow\gamma$ 変態は起こりえないから、ペーライト材のごとくフェライトの粗い網目組織をなすものでは共析変態後も大きなフェライト相が、そのまま残存することになり(組織(e)において常温組織(d)とほぼ同じようなフェライの網目構造が認められる)、したがってソルバイト材にくらべると析出 γ 相は局在的できわめて粗い($\alpha+\gamma$)二相組織となる。さらにまた、変態速度も小さいことから引張変形中になおかなりの未変態ペーライトが残留していることも考えられ、この粗大なセメンタイトが塑性変形を著しく阻害する可能性もある。同素変態中における強度の劣化現象は α 中に原子体積の異なる γ 相の核ができると内部応力が発生し、小さな作用応力のもとでも十分材料に流れが生ずる⁹⁾ためと考えられているが、ソルバイト材の低強度、高延性はその粒状セメンタイトの分散組織効果のために共析変態の際に多数の γ 相の粒子が均一に微細析出することに原因するのであろう。760°Cの場合の空冷組織を比較するとソルバイト材が、(c)図のごとく微細なフェライト・ペーライト組織をなすのに対し、ペーライト材(f)におけるペーライトノジュールはかなり粗大である。空冷に伴なうペーライトの成長は一般にオーステナイト結晶粒の粒境界から成長するものであるから、ペーライトノジュールの細かいものほど γ 結晶粒も微細であったと言える。このときソルバイト材は200%以上の伸びを生じ、強度

の塑性変形を受けたにもかかわらず集合組織の発達はみられず結晶粒も粗大化していない。これは引張変形による連続的な塑性ひずみの影響を受けて結晶粒界の移動ないし、再結晶¹⁾がひき続き起き、常に微細組織が再生されるため考えられる。微細な結晶組織は超塑性材料に特徴的な因子で結晶粒が粗大化すると超塑性は失なわれ、早期破断が起きる。780°C以上の高温における著しい延性の低下は、この γ 結晶粒の粗大化によるものであろう。このように高温で微細組織の方が延性的であることは、クリープ速度の結晶粒度依存性と類似の現象で、高温では細粒の方が粗粒より粒界すべりを起こしやすいためにクリープ性が大となることが知られており¹⁰⁾、低速度の超塑性変形にはこのようなクリープ過程の関与があるものと考えられる。

Fig. 7 および Fig. 8 に各鋼種のソルバイト材についてのそれぞれ変形抵抗および破断伸びの温度依存性を示す。変形抵抗はいずれの場合も A₁点直上で極小となり、共析変態に伴なう強度低下が認められるが、炭素量の多いものほどパーライト変態の割合が増すため共新組成に近い SK 5 で最も顕著で、また破断伸びも最も大きい。S35C は比較的低炭素鋼であるにもかかわらず、変形抵抗は SK 5 より大きく破断伸びはかなり小さい。また伸びのピークは A₁点直上の温度より、さらに高い約740°Cで現われるが、これは $\alpha \rightarrow \gamma$ 変態に続いてその温度に相当するだけの $\alpha \rightarrow \gamma$ 変態が起きて α と γ の占める体積割合がほぼ等しい

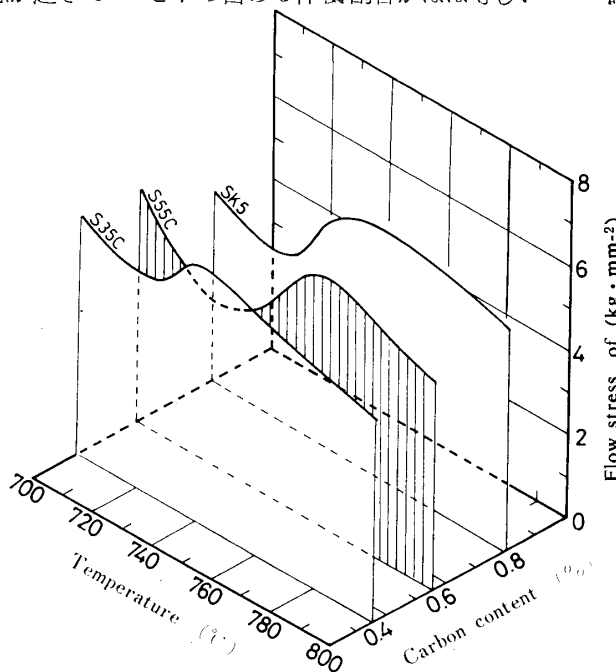


Fig. 7 The dependence of the flow stress upon temperature and carbon content
(tensile rate 0.2mm·min.⁻¹)

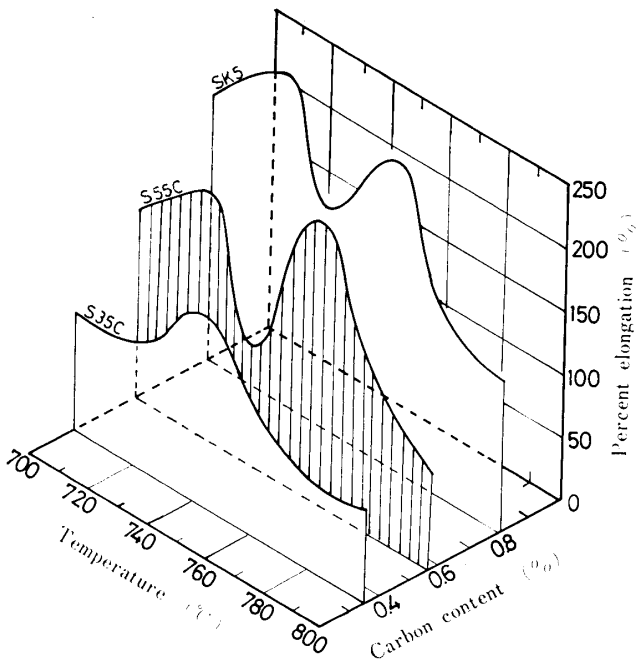


Fig. 8 The dependence of the percent elongation upon temperature and carbon content
(tensile rate 0.2mm·min.⁻¹)

$(\alpha + \gamma)$ の均一混合組織が得られることに関連するものと考えられる。一般にソルバイト材はパーライト材にくらべて低い変形抵抗と大きな伸びを示し、しかもフェライト中に分散する微細なセメンタイト粒の密度が高い高炭素鋼ほど延性に富むことがわかる。

Fig. 9 は SK 5 ソルバイト材の各温度における破断試験片について破断部近傍のプロファイルを図示したものである。いずれも破断点の最小直径は 1 mm 前後で $\varphi = 98\%$ 以上の大なる断面収縮をきたすが、

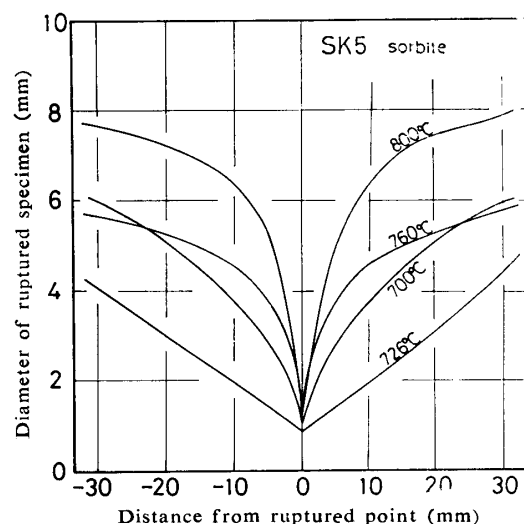


Fig. 9 Profiles of ruptured specimens of SK5-Sorbite material
(tensile rate 0.2mm·min.⁻¹)

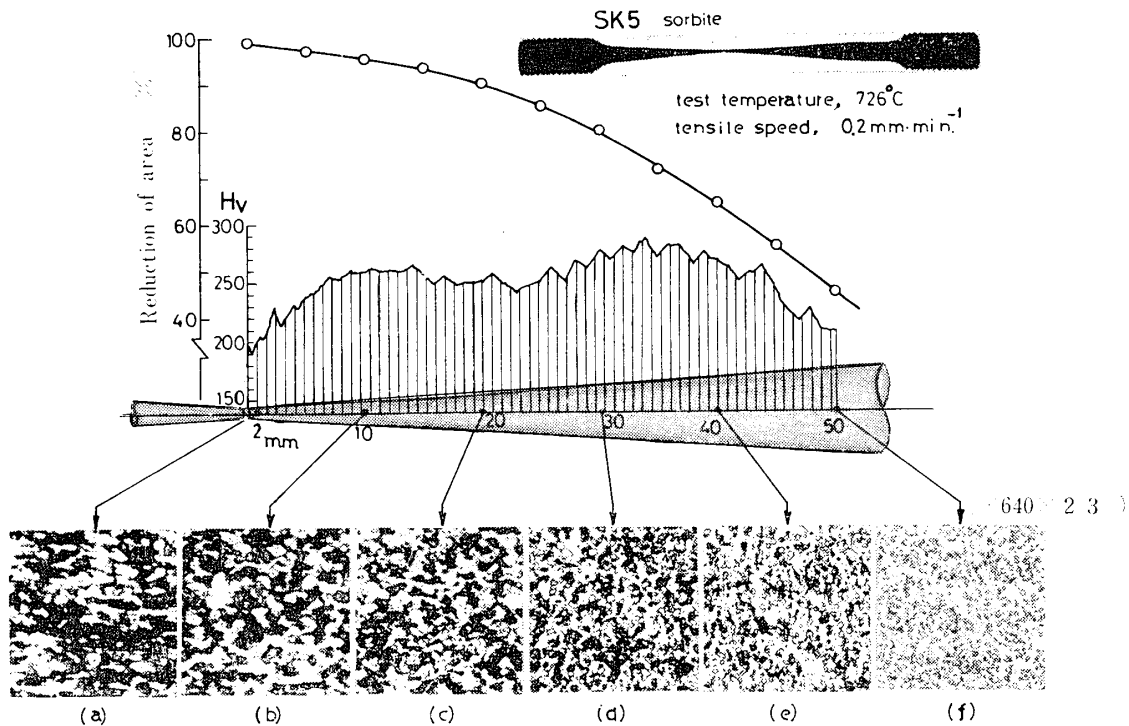


Fig. 10 The changes of reduction of area, hardness (H_V) and microstructure along the longitudinal direction of the ruptured specimen of SK5-Sorbite material

くびれの形状は温度によってかなり異なり、ことに大きな伸びを生じた 726°C の場合きわめて特徴的である。すなわち破断点近傍においても局部的なくびれの発達は全くみられず、細長く尖がった円錐形状に変形しあたかも非晶質体の粘性流れによる変形と類似の形態を呈する。Fig. 10にこの破断試験片の各点における断面収縮率、および縦断面に沿う硬さと組織の変化を示す。破断点にごく近接した個所の組織は、フェライト・ペーライト組織でやや集合組織の発達がみられるところから、変形中に共析変態はすでに完了し单相オーステナイトの結晶粒が引張方向にかなり引き伸ばされたことが考えられる。しかし破断点より 10mm の個所ではもはや集合組織はみられず細かいフェライト・ペーライト組織を成し、さらに試験片のつかみ部に近いほどペーライトの析出量は減少し、これに対応して多くの未溶解セメントが残留するようになる。すなわち、このような個所では共析変態はなお完了することなく引張変形中に徐々に進行し、連続的な γ 相の析出、成長によって相境界はきわめて流動的であるとともに強度の劣化をひきおこして、むしろくびれの最小断面部(すでに γ 单相となっている)におけるよりも伸び変形が優先して生ずる可能性がある。このように変態に伴なう変形が試験片の全長にわたって順次進展し

て行くため、最初のくびれ部での集中的な断面収縮は起きず粘性流れ類似の大きな延性が得られるものと考えられる。

3・2 引張変形能のひずみ速度依存性

SK 5 のソルバイト材について最も大きな伸びが得られた 726°C において、変形速度を数種変えて引張試験を行ったときの応力～ひずみ線図の例を Fig. 11に

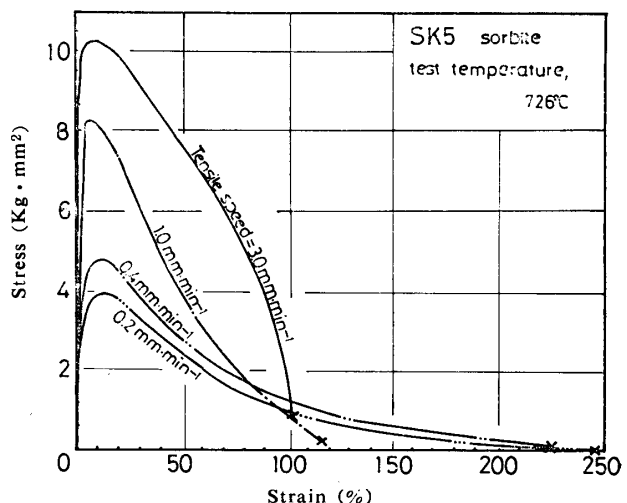


Fig. 11 Stress-strain curves of the SK5-Sorbite specimens at 726°C under various tensile rates

示す。速度が低くなるにつれて変形抵抗は著しく低下し、逆に伸びは増大し、高いひずみ速度依存性がみられた。低速の場合最大強さを過ぎてからの応力の減少率はきわめてゆるやかで250%に達する大きな伸びを生ずるが、最大強さに至るまでのひずみは変形速度によって大差ないことから、くびれ開始後の伸びの寄与が異常に大きいことがわかる。この場合試験片は、すでに述べたように特徴的な粘性的変形を呈して破断点を頂点とする細長い円錐形状をなして破断することから、くびれ発生から破断までFig. 12の図中に示したごとく近似的に常にテーパー形状を維持しながら、伸び変形が進むものと推測される。このとき引張速度V一定のもとで、変形前後の体積不変としてくびれの最小断面での直径dを求めるとき幾何学的に次式で与えられる。

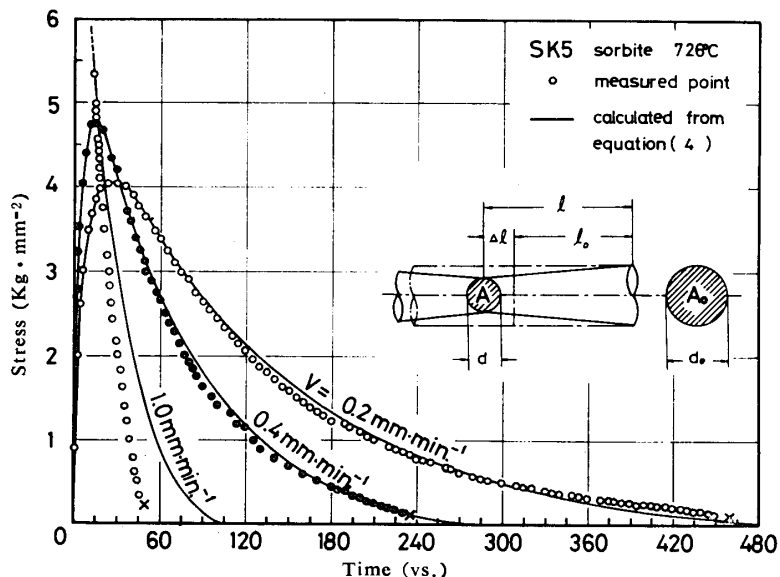


Fig. 12 The nominal stress vs. time curves calculated from equation (4) (SK5-Sorbite material, 726°C)

$$d = \frac{d_0}{2} \left\{ -1 + \sqrt{3(4l_0/l - 1)} \right\} \quad (1)$$

d_0 : くびれ開始前の直径

l_0 : くびれ発生点から試験片肩部までの長さ

くびれ開始後の時間tにおける図の長さlは

$$l = l_0 + (V/2)t \quad (2)$$

であるから、時間tにおけるくびれ部の最小断面積Aは次式で表わされる。

$$A = \pi d^2/4 = \frac{A_0}{2} \left[\frac{-(V/2)t + 5l_0}{(V/2)t + l_0} \right] - \sqrt{\frac{-3(V/2)t + 9l_0}{(V/2)t + l_0}} \quad (3)$$

A_0 : くびれ開始前の断面積

いまこの最小断面に作用する真応力が最大荷重

(P_0)点に対応する真応力 σ_0 に等しく常に一定に保たれながら変形するものと仮定すれば、くびれ開始後の荷重Pの時間的な減少変化は次式で表わされる。

$$P = \sigma_0 A = (P_0/A_0) A = \frac{P_0}{2} \left[\frac{-(V/2)t + 5l_0}{(V/2)t + l_0} \right] - \sqrt{\frac{-3(V/2)t + 9l_0}{(V/2)t + l_0}} \quad (4)$$

Fig. 12の実線で示した曲線は(4)式の両辺を試験片の最初の断面積で除して公称応力線図として示したものである。図中のプロットは実測値である。 $V=0.2$ および $0.4\text{mm}/\text{min}$ の低速の場合、両者は比較的よく一致しており、このことからくびれ発生後も、その最小断面に生ずる応力は最大荷重点での応力以上に増大することなく、変形中ほぼその一定応力状態にあるものと考えられ、現象的にはクリープ変形と類似の挙動をすることがわかる。この場合すでに述べたように、変形と同時に共析反応が進行し、微細な多数のr相の粒子が、析出するから組織は未溶解の粒状セメントイトを含む($\alpha+r$)の微細二重構造をなし、連続的な相境界の移動を伴なって拡散性クリープをひきおこすことが考えられる。しかし変形速度が高いときには、共析変態が十分追隨しえないために微細二重構造の連続的形成が阻止され、クリープの寄与もなく通常の高温引張変形におけるように深い局部くびれを生じて早期破断する。

Fig. 13に変形抵抗および破断伸びのひずみ速度依存性を示す。変形抵抗 σ_f とひずみ速度 $\dot{\epsilon}$ の関係を両対数プロットすると、一般の超塑性材料に認められる

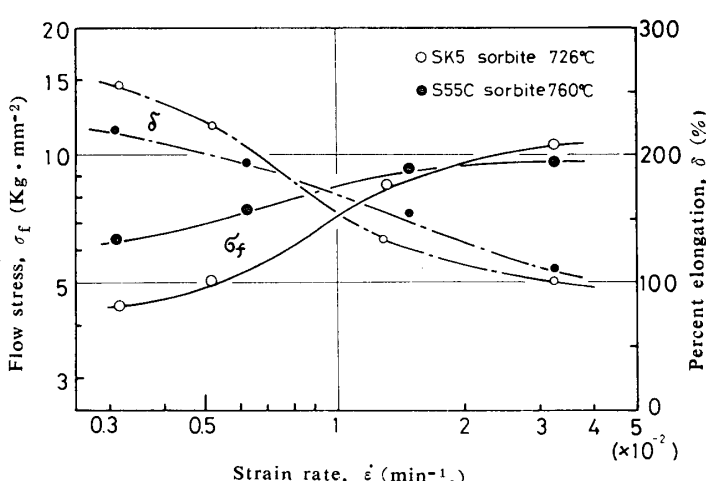


Fig. 13 The dependence of the flow stress and percent elongation upon strain rate

よう S 字形曲線が得られ、ひずみ速度の中間の領域で σ_f は、最も大きく変化する。破断伸びのひずみ速度による変化は σ_f とちょうど逆な関係にあり、低ひずみ速度域で伸びは大きくなる。 760°C における S55C の σ_f のひずみ速度による変化は SK5 にくらべるとかなりゆるやかで、 σ_f の速度依存性の大なものほど伸びも大きくなる傾向がみられる。一般に変形応力 σ とひずみ速度との関係は次式で表わされ、

$$\sigma = K \dot{\epsilon}^m \quad (5)$$

K : 定数

m : ひずみ速度感受性指数

したがって指数 m は $\log \sigma_f \sim \log \dot{\epsilon}$ 曲線の勾配として求めることができ、この値が σ_f の速度依存性の尺度となる。ニュートンの粘性体に対して $m=1$ で、このときは勿論引張における伸びは均一で、くびれは生じないが、超塑性材料では $m=0.5$ 程度で通常の高温引張における値 ($m=0.1 \sim 0.2$) にくらべかなり大きいことが特徴である。Fig. 14 に各材料について求めた m のひずみ速度による変化を示す。いずれも m はひずみ速度の中間領域で最大となり、ことに SK5 ソルバイト材 (726°C) はおよそ $\dot{\epsilon}=10^{-2}\text{min}^{-1}$ のとき最大値 $m=0.6$ なる非常に大きな値を示した。ところがソルバイト材にくらべて粗い粒状セメントイト組織をなす素材ではより低ひずみ速度側で最大となり、その値もかなり低い。また S55C についてもソルバ

イト材はパーライト材よりも幾分大きな値を有し、 m 値の大きいものほど大きな伸びを生ずるという一般的な関係が成り立つことからも、ソルバイト材がその微細構造に関連して超塑性的な変形能にかなり優れていることがわかる。

4. 結 言

炭素鋼 S35C, S55C および SK5 について A₁ および A₃ 変態点を含む $700^{\circ}\sim 800^{\circ}\text{C}$ 高温域で引張試験を行い、変形能におよぼす温度、ひずみ速度および組織の影響について検討し、次の結果を得た。

(1) ソルバイト組織の高炭素鋼は A₁ 点直上の温度で変形抵抗の劣化をきたし、著しく大きな伸びを生ずるが、これは共析変態に伴なう γ 粒の析出によって ($\alpha+\gamma$) の微細二重構造が形成されることによる超塑性現象であると考えられる。

(2) このような超塑性変形における大部分の伸びはくびれ開始後の局部伸びによって生ずる。くびれの底に作用する応力は変形中ほぼ一定値に保たれ、クリープ過程による伸びの寄与が考えられる。

(3) ソルバイト材における変形抵抗のひずみ速度感受性指数は素材にくらべてかなり大きく、超塑性的な変形能に優れている。

参 考 文 献

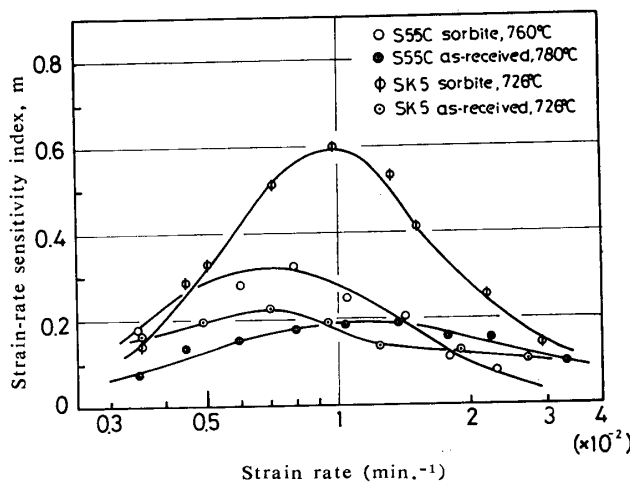


Fig. 14 Variation of strain-rate sensitivity index (m) with strain rate for various materials

- 1) G. J. Davies, J. W. Edington, C. P. Cutler and K. A. Padmanabhan : J. Materials Science, 5, 1091 (1970)
- 2) D. Oelschlägel : 金属, 39—21, 33 (1969)
- 3) 井口信洋 : ibid, 41—16, 74 (1971)
- 4) W. A. Backofen, I. R. Turner and D. H. Avery : Trans. ASM, 57, 980 (1964)
- 5) S. W. Zehr and W. A. Backofen : ibid, 61, 300 (1968)
- 6) D. Lee : Acta Met., 17, 1057 (1969)
- 7) W. B. Morrison : Trans. ASM, 61, 423 (1968)
- 8) W. Hume-Rothery : 鉄鋼物性工学入門, 共立 (1968) P. 150
- 9) M. de Jong and G. W. Rathenau : Acta Met., 9, 714 (1961)
- 10) 平 修二 : 金属材料の高温強度, 養賢堂 (1968) P. 39

(昭和47年9月15日受理)